

Energy Levels and Transitions Probability B(E2) of Even–Even $^{170, 172, 174}\text{Os}$ Isotopes Using IBM-1 and SEF

F. M. Ali ^{(1)*}, M. A. Al-Jubbori⁽²⁾, A. A. Elbndaq⁽³⁾

^(1,2)Department of Physics, Collage of Education for Pure Science, University of Mosul, Mosul, Iraq

⁽³⁾ Department of Physics, Faculty of Science, University of Tripoli, Tripoli, Libya

Article information

Article history:

Received June 16, 2023

Revised: July 04, 2023

Accepted July 10, 2023

Available online December 01, 2023

Keywords:

IBM-1 model

SEF

Ground State

BE2

Correspondence:

Fatima M. Ali

fatima.20esp32@student.uomosul.edu.iq

Abstract

In this paper, the energy levels of the ground state band (GSB), β -band and γ -bands for $^{170-174}\text{Os}$ isotopes were calculated using the Interacting Boson Model (IBM-1), the Semi-Empirical Formula (SEF) by Al-Jubbori. All models were developed by IBM. In order to complete this study, the above-mentioned models and equations were applied. The results of the Ground State Band showed that IBM-1, Semi-Empirical Formal, and the available experimental data are all in agreement with certain variations this was shown by the results of the GSB. The Semi-Empirical Formal calculations have a higher level of compatibility with the experimental data when compared to the IBM-1 calculations. According to the findings of this research, the SEF equation is capable of describing the energy spectra of Os isotopes in comparison to IBM-1. The electric quadrupole transition probabilities B(E2) transitions which obtained through IBM-1 for the above isotopes were calculated and found to be in agreement with the available experimental data. On the other hand, Isotopes of Os exhibit behavior that is consistent with a gamma soft O(6) transition.

DOI: [10.33899/edusj.2023.140987.1374](https://doi.org/10.33899/edusj.2023.140987.1374), ©Authors, 2023, College of Education for Pure Science, University of Mosul.

This is an open access article under the CC BY 4.0 license (<http://creativecommons.org/licenses/by/4.0/>).

1. المقدمة

تتركز دراسة الفيزياء النووية حول نقطتين اساسيتين هما : فهم خواص الفوبي التي تربط اجزاء النواة مع بعضها، ومحاولة فهم سلوك النيكليونات داخل النواة ، ان هاتين النقطتين مرتبطتان ببعضهما البعض. [1]

اكتشفت نواة الذرة (عام 1911) من قبل العالم رذرفورد، في عام (1920) اقترح تسمية البروتون على الجسيم ذي الشحنة الموجبة (Z)، وافتراض وجود جسيم اخر داخل النواة ، له نفس الكثافة تقريباً، لكنه غير مشحون سماه نيوترون(N) (متداول الشحنة)، تم التأكيد من وجود هذه الجسيم(نيوترون) من قبل العالم جادوليك عام (1932) مما أدى هذا الاكتشاف الى ان التركيب النووي اصبح اكثر وضوها وادى ذلك الى ظهور فرضية هيلزبروك تنص على أن النوى تتكون من البروتونات والنيوترونات ويرمز لعدد النيوترونات في النواة بالرمز(N).

استخدمت النيوترونات كطريقة جديدة لدراسة التركيب النووي مما يؤدي الى اكتشاف عناصر مشرعة جديدة ، بواسطة الاشعاع النيوترونی عام (1934) ، وانشطر زرات اليورانيوم بواسطة النيوترونات عام (1938). مجموعة عدد البروتونات والنيوترونات في النواة يسمى عدد الكتلي(A) حيث ($A=N+Z$) [1] ، ويطلق على البروتونات والنيوترونات والنوكليونات ، وترتبط النوكليونات داخل النواة مع بعضها بالقوى النووية القوية ، تعمل على عدم تفككها ، وذلك بسبب وجود قوة كولوم التكافيرية بين بروتوناتها (Krane, 1987) [2]. تسمى النوى التي لها نفس العدد الذري ، ولكن عدد الكتلي مختلف من خلال اختلاف النيوترونات بالنظر [1]. نظائر الاموزميوم Os تحتوي 76 بروتوناً وعدد النيوترونات يعتمد على النظير [3].

النوى التي تكون فيها عدد بروتوناتها زوجية وكذلك عدد نيوتروناتها تعرف بالنوى الزوجية ، والنوى الزوجية الزوجية تكون أكثر اسقرازاً ووفرة في الطبيعة كون الفشرة الخارجية لها ملوءة او شبه ملوءة، قد تكون النواة زوجية – فردية ، او فردية – فردية ، او فردية – زوجية [4]، في النوى الزوجية الزوجية تكون لها حالات اثارة باعداد زوجية وتماثل موجب ($I^\pi = 0^+$ ، 2^+ ، 4^+ ، 1^+ ، 3^+ ، 2^+ ، 1^+ ، $I^\pi = 0^+$ ،) ويطبق على هذه الحالات بالحزمة الارضية (GSB) ، تتوارد حالات اخرى مشابهة للحالة الارضية (β) ، تسمى حزمة بيتا الاهتزازية (β) ، تسمى حزمة بيتا الاهتزازية (γ) [5,6,7]. وفي غياب المعلومات المفصلة حول القوة النووية فإن وصف طبيعة وتركيب النواة يبقى في اطار النماذج التي تحاول تفسير الظواهر التي لوحظت في النوى، لا توجد نماذج دقيقة وشاملة لوصف التركيب النووي والقوة النووية، هناك العديد من النماذج المثلية لدراسة

التركيب النووي وتقسيم الخواص النووية من هذه النماذج منها نموذج قطرة السائل اقترحه بور عام (1937) لتفسير بعض الظواهر الفيزيائية النووية كالانبعاث النووي ، والانشطار النووي ، واشتراق معادلة طاقة الربط النووي الا ان هذا النموذج لا يصف حركة النيوكلينات داخل النواة ولا كيفية تفاعلها مع بعضها ، لعد طور هذا النموذج من قبل (Weizsacker) عام (1953) [8].

اما نموذج الاغلفة (الفشرة) المقترن من قبل Elsasier عام (1935) فإنه يعتبر التفاعل بين النيوكلينات تفاعلاً ضعيفاً، لهذا يسمى احياناً بنموذج الجسيمة المستقلة ويربط استقرارية النواة الكبيرة بعدد النيوكلينات تكون متساوية الى اعداد تسمى اعداد سحرية (28, 50, 82, 126)، اما الباحثان [Bohr & Motteson] [9] اقترحوا الانموذج الجماعي الذي يعتمد على حركة مجموعه النيوكلينات ، حسب هذا النموذج تصنف حركة النوى الى قسمين اما اهتزازية او دورانية او تكون النواة ذات خصائص انتقالية . النموذج البوزونات المتفاعلة (IBM) الذي اقترح من قبل (Arima and Iachello) [10] ، يعتبر من انجح النماذج لدراسة التركيب النووي وتحديد مستويات الطاقة للنوى الزوجية _ الزوجية ، ويعالج الخصائص الجماعية للنوى الزوجية _ الزوجية المتوسطة والتقليلية ، وذلك باعتبار ان هناك نوعين من البوزونات بوزونات s ذات زخم زاوي ($L=0$) ، وبوزونات d ذات زخم زاوي ($L=2$) ، ان ازواج البوزونات التكافوية والتي يرمز لها بالرمز ($N\pi$) تتحسب من اقرب غلاف مملوءة، اذا كانت الفشرة ممثلة اكثراً من النصف فان عدد ازواج الفجوات سيمثل عدد البوزونات وتعامل النواة كنظام لعدد من البوزونات متساوي $N=N_{\pi}+N_{\nu}$ ، تم تصنيف النوى في هذا الانموذج الاهتزازية (U)، الدورانية ($SU(3)$)، وكاما ناعمة ($O(6)$) [11, 12, 13]. حيث ان نموذج البوزونات المتفاعلة(IBM) ليست له القابلية على التعامل مع بوزونات الزوج (بروتون _ نيترون)، لذا فان هذه الانموذج يصف المستويات النووية ذات الشمايل الموجب فقط . هناك اصدارات أخرى من النموذج البوزونات المتفاعلة كانموذج IBM-4 وانموذج IVBM الا انه لكل انموذج شروطه وهاذان الانموذجين لا يطبقان على النوى قيد الدراسة في هذا البحث. يوجد نوع اخر من انموذج البوزونات الاتجاهية المتفاعلة (IVBM) قدمه الباحثون Georgeiva et al عام (1982) [14] الذي يعتمد بيوره على نوعين من البوزونات يسمى ببوزونات (n, p) ، هذان النوعان من البوزونات يحدد شكل اثارة الجماعية للنواة .

في عام (2000) قامت Nahla Kader بابحاج معامل التحول الداخلي واحتمالية بعض الانتقال رباعية القطب الكهربائية المختزلة ($E2$) b للنظيرين $^{180}_{\text{Os}}$ و $^{184}_{\text{Os}}$. درس Ahmed في عام (2000) مستويات الطاقة واحتمالية الانتقال رباعي القطب الكهربائي المختزلة ($E2$) b للنظير $^{188}_{\text{Os}}$ باستخدام انموذج IBM-1 . درس الجندي تحديد تطور الحالة الأرضية ، وتحديد γ لنظرائر $^{188}_{\text{Os}}$ و $^{178}_{\text{Os}}$ وحالات β لنظرائر $^{188}_{\text{Os}}$ و $^{182}_{\text{Os}}$ ، يتم تحديد معلمات افضل ملائمة للبيانات المقابلة. ان الهدف من هذا البحث هو حساب مستويات الطاقة للزمرة الأرضية وجزمة بياناً وكاماً اضافية الى الانتقالات الكهربائية رباعية القطب.

2. الجانب النظري

2_1 انموذج البوزونات المتفاعلة :

وضع انموذج البوزونات المتفاعلة IBM-1 لدراسة طيف النوى الزوجية _ الزوجية ، كل زوج من نكليونات التكافؤ يعد بوزونا ، وبقية النكليونات تشكل القلب الاهامد للنواة تقسم هذه النكليونات الى جزأين، جزء بوزونات s له زخم زاوي $L=0$ ، والآخر بوزون d بزم زاوي $L=2$ ، هذه البوزونات تتفاعل مع بعضها بطرق مختلفة ويعطي هامتون بالعلاقة التالية [15] :

$$\hat{H} = \sum_{i=1}^n \epsilon_i + \sum_{i,j} V_{ij} \quad \dots \quad (1)$$

(ϵ) هي طقة البوزون ، (n) هي عدد البوزونات،(V_{ij}) هي طقة التفاعل بين البوزونين (i & j) ، يمكن اعطاء الهايلتون وفقاً لانموذج IBM-1 باستعمال بصيغة متعدد القطبية [2, 15, 16, 17, 18].

$$H = \hat{n}_d + a_0 \hat{P} \cdot \hat{P} + a_1 \hat{L} \cdot \hat{L} + a_2 \hat{Q} \cdot \hat{Q} + a_3 \hat{T}_3 \cdot \hat{T}_3 + a_4 \hat{T}_4 \cdot \hat{T}_4 \quad \dots \quad (2)$$

$$\epsilon = \epsilon_d - \epsilon_s \quad \dots \quad (3)$$

هنا اعتبر طقة بوزونات s (ϵ_s)،تساوي صفر وبذلك تكون طقة البوزونات متساوية لطقة البوزونات d (ϵ_d) (المعاملات، a_0, a_1, a_2, a_3 ، a_4) تعبر عن قوة التفاعل والازدواج والزخم الزاوي وباعي القطب وثمانى القطب السادس عشر بين البوزونات على التوالى

$$\left. \begin{aligned} \hat{n}_d &= (d^\dagger \cdot \tilde{d}), \\ \hat{p} &= \frac{1}{2} [(\tilde{d} \cdot \tilde{d}) - (\tilde{s} \cdot \tilde{s})], \\ \hat{L} &= \sqrt{10} [d^\dagger \times \tilde{d}], \\ \hat{Q} &= [d^\dagger \times \tilde{s} + s^\dagger \times \tilde{d}] + \chi [d^\dagger \times \tilde{d}], \\ \hat{T}_r &= [d^\dagger \times \tilde{d}]^{(r)} , \quad r = 3 \text{ and } 4 \end{aligned} \right] \quad \dots \quad (4)$$

\hat{n}_d : مؤثر عدد البوزونات نوع d .

\hat{p} : مؤثر الازدواج .

\hat{L} : مؤثر الزخم الزاوي .

\hat{Q} : مؤثر رباعي القطب .

\hat{T}_r : مؤثر ثمانى القطب والقطب السادس عشر [19].

التناظرات الديناميكية تعتمد على الزمرة الوحدوية (U)،اذ يمكن تقسيم انموذج البوزونات المتفاعلة الاول (IBM-1) الى ثلاثة تحديات، وهي تحديد(U للنوى الاهتزازية و($SU(3)$ للنوى الدورانية و(O للنوى كما ناعمة، يمكن التعرف على خصائص النوى الزوجية _ الزوجية من خلال ايجاد النسبة الطاقة (R) حيث ($E(4_1^+)$) هو الطاقة مستوى الاثارة الثاني، و($E(2_1^+)$) هو الطاقة مستوى الاثارة الاول وتختلف قيم R من تحديد الى الاخر تكون ($2 \leq R \leq 2.4$) للنوى الاهتزازية ($5U$)، و($2.4 \geq R \leq 3$) للنوى ($6O$) و($3 \leq R \leq 3.3$) للنوى الدورانية ($3SU(3)$). تختزل معادلة الهايلتونين بصيغة المتعدد القطبية في التحديد الاهتزازي الى

$$\hat{H}^I = \varepsilon \hat{n}_d + a_1 \hat{L} \cdot \hat{L} + a_3 \hat{T}_3 \cdot \hat{T}_3 + a_4 \hat{T}_4 \cdot \hat{T}_4 \quad \dots \dots \dots (5)$$

تعطى قيم الطاقة المسموحة في هذا التحديد كالتالي

$$E(\varepsilon, n_d, \lambda, \mu, v, L) = \varepsilon n_d + K_1 n_d (n_d + 4) + K_4 v (v + 3) + K_5 L (L + 1) \quad \dots \dots \dots (6)$$

حيث n_d تمثل عدد البوزونات d كالاتي

$$n_d = N, N-1, \dots, 1, 0 \quad \dots \dots \dots (7)$$

حيث N تمثل عدد البوزونات الكلية و v عدد بوزونات d الغير المرتبطة الى زخم زاوي صفرى و تعطى بالعلاقة

$$v = n_d, n_d - 2, \dots, 1, 0 \quad (n_d \text{ odd or even}) \quad \dots \dots \dots (8)$$

الزخم الزاوي الكلية للنواة L تعطى بالعلاقة

$$L = \lambda, \lambda+1, \dots, 2\lambda-2, 2\lambda \quad \dots \dots \dots (9)$$

حيث ان λ تمثل الزخم الزاوي للبوزونات

$$\lambda = n_d - 2n_\beta - 3n_\Delta \quad \dots \dots \dots (10)$$

n_β تمثل عدد ازواج البوزونات المرتبطة الى زخم زاوي صفرى و n_Δ تمثل عدد ثلاثيات البوزونات المرتبطة الى زخم زاوي صفرى ،
نلاحظ $-1 \leq \lambda \leq 2$ غير مسموح بها ، وان K_1, K_4, K_5 تمثل قوة تأثير كل حد .

تعطى القيمة المختزلة لاحتمالية الانتقال رباعي القطبية بين مستويات الحالة الأرضية بالعلاقة التالية [20]

$$U(5): B(E2; L \rightarrow L-2) = \alpha_2^2 \frac{(L+2)(2N-L)}{4} \quad \dots \dots \dots (11)$$

اما التحديد الدوارني فتعطى دالة الهايلتونيان لها بالعلاقة [12, 16]

$$H = a_1 \hat{L} \cdot \hat{L} + a_2 \hat{Q} \cdot \hat{Q} \quad \dots \dots \dots (12)$$

يعطى قيم المعاملين a_1, a_2 بالشكل التالي [16]

$$a_2 = -\frac{E_{22}^+ - E_{21}^+}{3(2N-1)} \quad \dots \dots \dots (13)$$

and

$$a_1 = \frac{E_{21}^+}{6} + \frac{3}{8} a_2 \quad \dots \dots \dots (14)$$

معادلة القيمة الذاتية لهايلتون (SU(3) تعطى بالعلاقة التالية [16]

$$E | (\lambda, \mu), K, L, \mu > = \frac{a^2}{2} (\lambda^2 + \mu^2 + \lambda\mu + 3(\lambda + \mu)) \left(a^1 - \frac{3a^3}{8} \right) L(L-1) \quad \dots \dots \dots (15)$$

λ, μ عبارة عن اعداد كمية المختزلة لعدد البوزونات (N) و يمثلان حالات SU(3) الممكنة لكل قيمة L ، اما K يمثل العدد الكمي الذي يرمز الى الحالات التي تمثل قيمها متساوية لـ (λ, μ, L) الزخم الزاوي للنواة و تعطى القيمة المختزلة لاحتمالية الانتقال رباعي القطب $B(E_2)$ بالصيغة التالية [21, 12]

$$B(E_2; L+2 \rightarrow L) = eB^2 \frac{3}{4} \left[\frac{(L+2)(L+1)}{(2L+3)(2L+5)} \right] \times (2N-L)(2N+L+3) \quad \dots \dots \dots (16)$$

او يعطى للمستوى الاول 2^+ ، [16]

$$B(E2; 2_1^+ \rightarrow 0_1^+) = eB^2 \frac{N(2N+3)}{5} \quad \dots \dots \dots (17)$$

اما التحديد كما ناعمه (6) تختزل معادلة الهايلتونيان بصيغة المتعدد القطبية في هذا التحديد الى

$$\hat{H} = a_0 \hat{P}^\dagger \cdot \hat{P} + a_1 \hat{L} \cdot \hat{L} + a_3 \hat{T}_3 \cdot \hat{T}_3 \quad \dots \dots \dots (18)$$

تعطى قيمة الطاقة المسموحة لتحديد كما ناعمه بالعلاقة الآتية

$$E(N, \sigma, \tau, L) = K_3(N - \sigma)(N + \sigma + 4) + K_4 \tau(\tau + 3) + K_5 L(L + 1) \quad \dots \dots \dots (19)$$

حيث تعطى قيم كل من K_3, K_4, K_5 [16]

$$K_3 = a_0$$

$$K_4 = \frac{a_3}{3}$$

$$K_5 = a_1 + \frac{a_3}{10}$$

والقيمة المختزلة لاحتمالية الانتقال رباعي القطبية بين مستويات الحالة الأرضية فانها تعطى بالعلاقة التالية [17, 16]

$$\dots (20) O(6): B(E2; L \rightarrow L - 2) = \alpha_2^2 \frac{(L+2)}{8(L+5)} (2N - L)(2N + L + 8)$$

2-2 معادلة SEF
وُضعت عدة معادلات في الفترة الأخيرة لدراسة التركيب النووي للنوى خاصة منها المشوهة ومن هذه معادلة شبه التجريبية SEF دالة للزخم من قبل الجبوري (2016)، تعتمد هذه المعادلة على الدالة الأسية وتعطى للحرمة الأرضية بالصيغة التالية :

$$E(I) = A_1[\exp(A_2 I) - A_3] \quad \dots \quad (21)$$

حيث ان المعلمات A_3 و A_2 يمكن ايجادها من اجراء المعاينة لمستويات الحرمة الأرضية

اما الحرزم المثار على من الحرمة الأرضية فالمعادلة تأخذ الصيغة التالية :

$$E(I) = E_0 + (A_1 + B)[\exp(A_2 I) - A_3] \quad \dots \quad (22)$$

حيث ان E_0 تمثل راس الحرمة المثار ، ويتم ايجاد المعلم B من اجراء عملية المعاينة لمستويات الحرمة المثار حرمة كما و بيتا

3-3 احتمالية الانتقال رباعية القطب الكهربائية : $B(E2)$
بإمكاننا الحصول على معلومات اضافية حول بنية النوى من دراسة احتمالات الانتقال الرباعي الكهربائي تكتب عامل الانتقال $E2$ بالشكل التالي :

$$= \alpha_2[d^\dagger \times s + s^\dagger \times d] + \beta_2[d^\dagger \cdot d] = e_B \hat{Q} \quad \dots \quad (23) T^{E2}$$

حيث $[d^\dagger, s^\dagger]$ تمثل مؤثرات الخلق والفناء لبوزونات (s, d) على التوالى اما α_2 و β_2 معلمات يمكن ايجادهم كالاتي [19, 22] :

$$\alpha_2 = e_B$$

$$2 = \chi \alpha_2$$

$$\beta$$

e_B : هو الشحنة الفعلية للبوزون

χ : قيمة ثابتة [16]

تعطى الانتقالات الكهربائية $B(E2)$ باستخدام الصيغة [19, 22] :

$$B(E2) = \frac{0.5657}{T_{1/2}^\gamma (ps) E_\gamma^5 (Mev)} (e^2 b^2) \quad \dots \quad (24)$$

حيث E_γ يمثل انتقال الطاقة ($I \rightarrow I - 2$) E_γ هو عمر النصف لمستوي بوحدة (ps) في حال انتقال واحد من مستوى الطاقة .
العلاقة التي تربط بين $B(E2)$ بوحدات الوايسكوف $w.u$ و $e^2 b^2$ تعطى بالصيغة [23] :

$$B(E2) w.u = \frac{B(E2) e^2 b^2}{5.934 \times 10^{-6} A^{\frac{4}{3}} e^2 b^2} \quad \dots \quad (25)$$

3- النتائج والمناقشة :

تم حساب مستويات الطاقة بواسطة (IBM-1) و (SEF) وقيم احتمالات الانتقال ($E2$) لنظرائر ($^{174-170}_{76} Os$) والمقارنة بين النتائج التي تم الحصول عليها .
نوى النظائر ($^{174-170}_{76} Os$)، تمتلك عدد ذري ($Z=76$) بروتونا اقل من الرقم السري (82)، وهي تمتلك اقرب غلاف ممتنى . تكون عدد البوزونات نوع بوزون - بروتون ($N_\pi = 82 - 76 / 2 = 3$)،اما عدد البوزونات نوع بوزون - نيترون (N_ν) الذي يحسب من عدد التترونات لكل نظير وتكون عدد البوزونات (N_ν) للنظائر (^{174}Os ، ^{172}Os ، ^{170}Os) تساوي (8 ، 7 ، 6) على التوالى . تعتبر النسبة ($R = \frac{E_{A_1}^+}{E_{A_2}^+}$) مؤشر لنشوء شكل النواة ، من الجدول رقم (1) تم الحصول على معلومات اولية لنظرائر ($^{174-170}_{76} Os$) توضح ان هذه النظائر تتبعي الى النوى كاما ناعمة (6) O . اجري حساب ثوابت انموذج IBM-1 والمبنية في الجدول (2). اما الجداول (3 and 4) فقيبين قيم المعلمات للحرزم الأرضية وبيتا وكاما لمعادلة SEF.

الجدول (1) قيم R لنظرائر $^{174-170}_{76} Os$ الزوجية - الزوجية

Isotopes	^{170}Os	^{172}Os	^{174}Os
$R_{4/2}$	2.615	2.661	2.74

الجدول (2) تمثل قيم المعلمات IBM-1 مع عدد البوزونات N_b لنظرائر ($^{174-170}_{76} Os$)

IBM-1					
Isotopes	N	ELL	QQ	α_2	β_2
Os^{170}	9	0.045	----	0.1850	-0.5365
Os^{172}	10	0.014	----	0.1520	-0.4408
Os^{174}	11	0.046	-0.0160	0.1450	-0.3330

$$ELL = 2a_1 \text{ and } QQ = 2a_2$$

الجدول (3) تمثل قيم المعاملات لحرزمه الأرضية للمعادلة SEF للنظائر ($^{174-170}\text{Os}$)

Isotopes	SEF		
	A ₁	A ₂ x10 ⁻²	A ₃
Os^{170}	5.8452	3.8629	1.0339
Os^{172}	4.6450	3.8381	1.0324
Os^{174}	1.7464	6.8425	1.0601

الجدول (4) تمثل قيم المعاملات لحرزمه بيتاً وكاماً للمعادلة SEF للنظائر ($^{174-170}\text{Os}$)

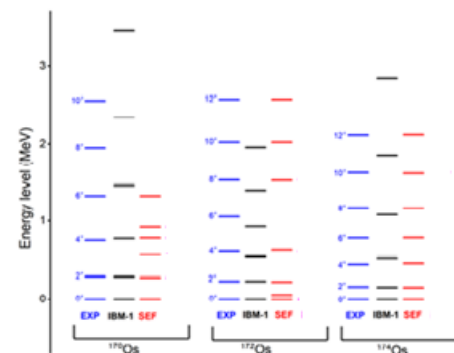
Isotopes	β - band			γ -band	
	N	E ₀	B	E ₀ (10 ⁻⁴)	B(10 ⁻⁴)
^{170}Os	9	-----	-----	-----	-----
^{172}Os	10	0.6283	0.0478	0.0550	0.0153
^{174}Os	11	0.5210	0.0526	0.0562	0.0129

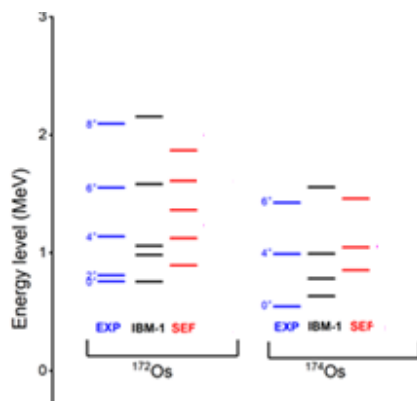
من خلال ايجاد قيمة R في الجدول رقم (1) وجد ان النظائر $^{174-170}\text{Os}$ تحمل خصائص النوى انتقالية كماً ناعمة (6) O واستخدام انموذج IBM-1 والمعادلة SEF لحساب حالات الطاقة لحرزمه الأرضية GSB ومقارنتها مع النتائج التجريبية مع حساب نسبة الخطأ لكل منها تم حساب SEF باستخدام المعادلة (21) من خلال ادخال قيم المعاملات التي حصلنا عليها في الجدول(4)، تم اجراء عملية مواهمة بين القيم التجريبية والمعادلات النظرية الخاصة لكل من IBM-1 و SEF قورن بين قيم الطاقات العملية والنتائج التي تم الحصول عليها من انموذج IBM-1 وكذلك القيم للطاقات التي تم الحصول عليها من المعادلة Al-Jubbori (SEF) et al (2016) بالنسبة لحرزمه الأرضية كما هو موضح في الجدول (5) والشكل (1)، تبين مستويات الطاقة لحرزمه الأرضية وحرزمه بيتاً وحرزمه كاماً ونلاحظ ان هناك توافقاً جيداً بين القيم المحسوبة والقيم العملية [24,25,26,27,28,29]:

الجدول (5) قيم حالات الطاقات التجريبية EXP والمحسوبة لـ $^{174-170}\text{Os}$ للنظائر (GSB) بوحدة (Mev)

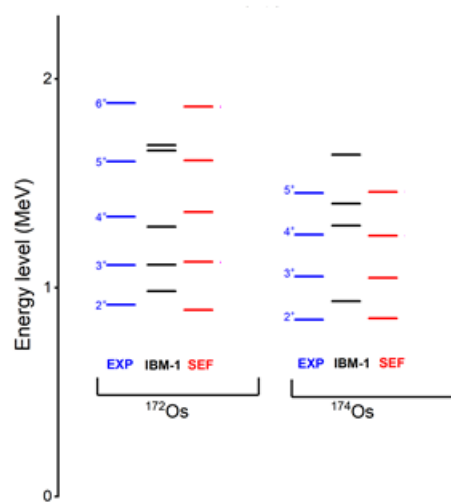
I ^π	^{170}Os			^{172}Os			^{174}Os		
	EXP	IBM-1	SEF	EXP	IBM-1	SEF	EXP	IBM-1	SEF
0	0.000	0.000	0.000	0.000	0.0000	0.000	0.000	0.000	0.000
2	0.286	0.284	0.271	0.227	0.226	0.220	0.158	0.153	0.151
4	0.749	0.771	0.778	0.606	0.534	0.620	0.435	0.513	0.444
6	1.325	1.458	1.326	1.054	0.925	1.052	0.777	1.078	0.781
8	1.945	2.347	1.918	1.525	1.398	1.519	1.171	1.849	1.167
10	2.545	3.438	2.558	2.023	1.953	2.022	1.617	2.826	1.610
12	-----	-----	-----	2.564	2.591	2.566	2.113	-----	2.118

نلاحظ من خلال الجدول اعلاه ان اعلى نسبة خطأ للنظير ^{170}Os تبلغ (5.2) لحالة الإثارة الثانية، واقل نسبة خطأ لهذا النظير (0.07) عند المستوى السادس، بالنسبة للنظير ^{172}Os تسجل اعلى نسبة خطأ (3) في حالة الإثارة الثانية واقل نسبة خطأ عند المستوى العاشر (0.1)، وفي النظير ^{174}Os تبلغ اعلى نسبة خطأ (4.4) عند المستوى الثاني واقل نسبة خطأ (0.2) عند المستوى الثاني عشر.

الشكل (1): القيم العملية والمحسوبة لحرزمه الأرضية لنظائر $^{170-174}\text{Os}$



الشكل (2): القيم العملية والمحسوبة لجزمة بيتا لنظائر $^{172}-^{174}\text{Os}$



الشكل (3): القيم العملية والمحسوبة لجزمة كاما لنظائر $^{172}-^{174}\text{Os}$

الجدول (6) يبين قيم الانتقالات الكهربائية العملية والمحسوبة باستخدام انموذج البوزونات المتفاعلية ونلاحظ ان هنالك توافقاً جيداً خاصة لانتقالات الحزمة الأرضية، في حين هنالك بعض الفروقات البسيطة لانتقالات الحزم الأخرى.

الجدول (6): قيم الانتقالات الكهربائية لنظائر $^{170}-^{174}\text{Os}$

$J_i \rightarrow J_f$	^{170}Os		^{172}Os		^{174}Os	
	IBM-1	EXP.	IBM-1	EXP.	IBM-1	EXP.
$2_1^+ \rightarrow 0_1^+$	0.8009	-----	0.6469	0.653	0.9952	-----
$2_2^+ \rightarrow 0_1^+$	0.1078	-----	0.0867	-----	0.0045	-----
$2_3^+ \rightarrow 0_1^+$	-----	-----	-----	-----	0.0001	-----
$4_1^+ \rightarrow 2_1^+$	1.0952	-----	0.8912	0.981	1.3957	0.9822
$4_2^+ \rightarrow 2_1^+$	0.0844	-----	0.0692	-----	0.0028	-----
$4_3^+ \rightarrow 2_1^+$	-----	-----	-----	-----	0.0001	-----

$6_1^+ \rightarrow 4_1^+$	1.1979	-----	0.9858	1.705	1.4858	-----
$6_2^+ \rightarrow 4_1^+$	0.0628	-----	0.0529	-----	0.0023	-----
$6_3^+ \rightarrow 4_1^+$	-----	-----	-----	-----	0.0001	-----
$8_1^+ \rightarrow 6_1^+$	1.1948	-----	0.9998	2.159	1.4776	-----
$8_2^+ \rightarrow 6_1^+$	0.0446	-----	-----	-----	0.0021	-----
$8_3^+ \rightarrow 6_1^+$	-----	-----	0.0392	-----	-----	-----
$10_1^+ \rightarrow 8_1^+$	1.1189	-----	0.9597	1.477	1.4135	-----
$10_2^+ \rightarrow 8_1^+$	0.0297	-----	-----	-----	0.0018	-----
$10_3^+ \rightarrow 8_1^+$	-----	-----	0.0278	-----	-----	-----
$12_1^+ \rightarrow 10_1^+$	0.9857	-----	0.8780	1.591	1.3078	-----
$12_2^+ \rightarrow 10_1^+$	-----	-----	-----	-----	0.0015	-----
$12_3^+ \rightarrow 10_1^+$	0.0179	-----	0.0185	-----	-----	-----

4- الاستنتاجات

في هذا البحث قورن بين حسابات أنموذج البوزوونات المتفاعلة الأصدار الأول IBM-1 وبين المعادلة شبه التجريبية SEF في حساب مستويات الطاقة للجزمة الأرضية لنظائر Os^{174} - 170 ، وكذلك معرفة التحديد الذي تتنمي له تلك النظائر. وتبين ان هناك توافقاً جيداً بين الحسابات النظرية والقيم العملية لمستويات الطاقة الأرضية وجزمة بيتا وجزمة كاما، الا اننا نلاحظ ان المعادلة شبه التجريبية تعطي قيماً اقرب لمستويات الطاقة الأرضية العملية بالمقارنة مع حسابات انموذج البوزوونات المتفاعلة وهذا يمكن القول ان المعادلة لها قابلية المرونة في الحسابات اكثراً من انموذج IBM-1. تم أيضاً حساب الانتقالات الكهربائية المختزلة (E2) من انموذج IBM-1 ومقارنتها مع القيم العملية واتضح ان هناك تقاربًا بين القيم العملية والقيم المحسوبة من انموذج IBM-1.

Reference

1. Anka: Azouz, A. Abdel-Karim "Introduction to Nuclear Physics", Ltd 1983.
2. K. S. Krane , " Introductory Nuclear Physics", John Wiley and Sons, Ltd 1987.
3. M. E. Mustafa , "Studying The Nuclear Structure properties of Even-Even Osmium Isotopes 188-196Os".
4. M .A Khaleel, "Nuclear Physics", AL_ Mosul University , 1996.
5. B. L Cohen , 1971 " Concepts of nuclear Physics , Tata. Mcgrawtill publishing companyltd .
6. M. A. Al-Jubbori et al., "Nuclear structure of the even-even rare-earth Er-Os nuclei for N=102," Indian Journal of Physics, vol. 94, no. 3, pp. 379–390, Apr. 2019, doi: 10.1007/s12648-019-01461-3.
7. M. O. Waheed et al., "Some Electromagnetic Transition Properties of Odd-A Palladium Isotopes," IOP Conference Series: Materials Science and Engineering, vol. 928, no. 7, p. 072088, Nov. 2020, doi: 10.1088/1757-899x/928/7/072088.
8. C. F. v. Weizscker, "Zur Theorie der Kernmassen," Zeitschrift fr Physik, vol. 96, no. 7–8, pp. 431–458, Jul. 1935, doi: 10.1007/bf01337700.
9. M. Bolsterli, "Nuclear Structure. Vol. 1. Single-Particle Motion. Aage Bohr and Ben R. Mottelson. Benjamin, New York, 1969. xiv + 474 pp., illus. \$25," Science, vol. 166, no. 3904, pp. 489–489, Oct. 1969, doi: 10.1126/science.166.3904.489.
10. F. Iachello and A. Arima, "Boson symmetries in vibrational nuclei," Physics Letters B, vol. 53, no. 4, pp. 309–312, Dec. 1974, doi: 10.1016/0370-2693(74)90389-x.
11. Arima and F. Iachello, "Interacting boson model of collective states I. The vibrational limit," Annals of Physics, vol. 99, no. 2, pp. 253–317, Aug. 1976, doi: 10.1016/0003-4916(76)90097-x.
12. Arima and F. Iachello, "Interacting boson model of collective nuclear states II. The rotational limit," Annals of Physics, vol. 111, no. 1, pp. 201–238, Mar. 1978, doi: 10.1016/0003-4916(78)90228-2.

13. A. Arima and F. Iachello, "Interacting boson model of collective nuclear states IV. The O(6) limit," *Annals of Physics*, vol. 123, no. 2, pp. 468–492, Dec. 1979, doi: 10.1016/0003-4916(79)90347-6.
14. A. Georgieva, P. Raychev, and R. Roussev, "Interacting two-vector-boson model of collective motions in nuclei," *Journal of Physics G: Nuclear Physics*, vol. 8, no. 10, pp. 1377–1389, Oct. 1982, doi: 10.1088/0305-4616/8/10/008.
15. O. Scholten, F. Iachello, and A. Arima, "Interacting boson model of collective nuclear states III. The transition from SU(5) to SU(3)," *Annals of Physics*, vol. 115, no. 2, pp. 325–366, Oct. 1978, doi: 10.1016/0003-4916(78)90159-8.
16. R. F. Casten and D. D. Warner, "The interacting boson approximation," *Reviews of Modern Physics*, vol. 60, no. 2, pp. 389–469, Apr. 1988, doi: 10.1103/revmodphys.60.389.
17. F. Iachello, "An Introduction to the Interacting Boson Model," *Nuclear Structure*, pp. 53–89, 1981, doi: 10.1007/978-1-4684-3950-2_3.
18. W. Greiner and J. A. Maruhn, "Nuclear Models," 1996, doi: 10.1007/978-3-642-60970-1.
19. M. A. Al-Jubbori, H. H. Kassim, F. I. Sharrad, and I. Hossain, "Deformation properties of the even–even rare-earth Er–Os isotopes for N = 100," *International Journal of Modern Physics E*, vol. 27, no. 05, p. 1850035, May 2018, doi: 10.1142/s0218301318500350.
20. F. Iachello and A. Arima, "The Interacting Boson Model," Aug. 1987, doi: 10.1017/cbo9780511895517.
21. A. Arima and F. Iachello, "Interacting boson model of collective nuclear states II. The rotational limit," *Annals of Physics*, vol. 111, no. 1, pp. 201–238, Mar. 1978, doi: 10.1016/0003-4916(78)90228-2.
22. M. A. Al-Jubbori, H. H. Kassim, F. I. Sharrad, and I. Hossain, "Nuclear structure of even 120–136Ba under the framework of IBM, IVBM and new method (SEF)," *Nuclear Physics A*, vol. 955, pp. 101–115, Nov. 2016, doi: 10.1016/j.nuclphysa.2016.06.005.
23. S. S. M. Wong and M. S. Kalelkar, "Introductory Nuclear Physics," *Physics Today*, vol. 43, no. 11, pp. 88–90, Nov. 1990, doi: 10.1063/1.2810763.
24. C. W. Reich, "Nuclear Data Sheets for A = 162," *Nuclear Data Sheets*, vol. 108, no. 9, pp. 1807–2034, Sep. 2007, doi: 10.1016/j.nds.2007.07.002.
25. B. Singh and J. Chen, "Nuclear Data Sheets for A=164," *Nuclear Data Sheets*, vol. 147, pp. 1–381, Jan. 2018, doi: 10.1016/j.nds.2018.01.001.
26. C. M. Baglin, "Nuclear Data Sheets for A = 166," *Nuclear Data Sheets*, vol. 109, no. 5, pp. 1103–1382, May 2008, doi: 10.1016/j.nds.2008.04.001.
27. C. M. Baglin, "Nuclear Data Sheets for A = 168," *Nuclear Data Sheets*, vol. 111, no. 7, pp. 1807–2080, Jul. 2010, doi: 10.1016/j.nds.2010.07.001.
28. C. M. Baglin, E. A. McCutchan, S. Basunia, and E. Browne, "Nuclear Data Sheets for A=170," *Nuclear Data Sheets*, vol. 153, pp. 1–494, Nov. 2018, doi: 10.1016/j.nds.2018.11.001.
29. S. Singh and B. Singh, "Nuclear Data Sheets for A = 224," *Nuclear Data Sheets*, vol. 130, pp. 127–182, Dec. 2015, doi: 10.1016/j.nds.2015.11.003.

مستويات الطاقة واحتمالية الانتقالات (E2) لنظائر Os 174, 172، B(E2) الزوجية-الزوجية باستخدام IBM-1 و SEF

فاطمة محمد علي⁽¹⁾, مشتاق عبد داود الجبوري⁽²⁾, أسماء إعمار البنداق⁽³⁾

⁽¹⁾، ⁽²⁾ قسم الفيزياء ، كلية التربية للعلوم الصرفة ، جامعة الموصل، الموصل، العراق

⁽³⁾قسم الفيزياء / كلية العلوم ، جامعة طرابلس، طرابلس، ليبيا

الخلاصة:

في هذا البحث ، استخدام انموذج البوتون المتفاولة الإصدار الأول (IBM-1) Intracting Bosone model-1 (IBM-1) ، والصيغة الشبه التجريبية Semi Eprical Formla Ground satte band (GSB) اذ احتسبت مستويات الطاقة لجزمة الحالة الأرضية (GSB) للنظائر Os174-170. أظهرت الدراسة ان الحسابات لجزمة الأرضية Ground satte band IBM-1 و SEF والبيانات التجريبية المتوفرة كلها متوافقة مع بعض الاختلافات. بالمقارنة مع حسابات IBM-1 و SEF ذات تمايز الصيغة التجريبية Semi Eprical Formla على من التوافق مع البيانات التجريبية مقارنة مع نتائج انموذج البوتونات المتفاولة الإصدار الاول . من الناحية الاخرى اذ استخدم معادلات والصيغة الشبه التجريبية Semi Eprical Formla SEF قادرة على وصف أطياف الطاقة لنظائر Os بالمقارنة مع IBM-1. احتسبت احتمالية الانتقالات المختلفة (E2) التي تم الحصول عليها من خلال IBM-1 لنظائر اعلاه وتبيين انها تتفق مع البيانات التجريبية المتوفرة. من ناحية اخرى، تبيين ان النظائر OS لها سلوك متوافق مع انتقال كما الماعنة O(6).